



Physik der Kondensierten Materie 1

**Rudolf Gross
WS 2020/2021
Teil 25**

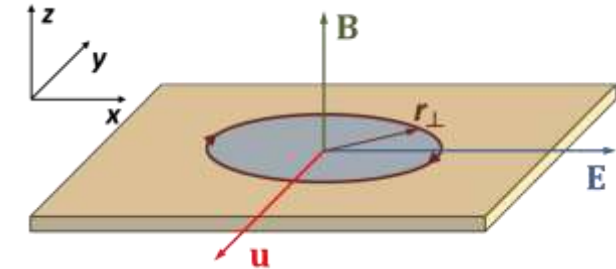
Vorlesungsstunde: 09.02.2021

• **semiklassische Bewegung in gekreuzten E- und B-Feldern (Trajektorie im Ortsraum)**

$$\mathbf{r}_\perp(t) - \mathbf{r}_\perp(0) = -\frac{\hbar}{eB} \hat{\mathbf{B}} \times [\mathbf{k}(t) - \mathbf{k}(0)] + \frac{E}{B} (\hat{\mathbf{E}} \times \hat{\mathbf{B}}) t = -\frac{\hbar}{eB} \hat{\mathbf{B}} \times [\mathbf{k}(t) - \mathbf{k}(0)] + \mathbf{u} t$$

geschlossene Bahnbewegung
(k-Raum Trajektorie um 90° gedreht und skaliert)

Translationsbewegung
mit Driftgeschwindigkeit $\mathbf{u} \perp \mathbf{E}, \mathbf{B}$



Trajektorie im k-Raum:

$$\hbar \frac{d\mathbf{k}}{dt} = (-e)(\mathbf{E} + \mathbf{v} \times \mathbf{B}) = e \mathbf{u} \times \mathbf{B} - \frac{e}{\hbar} \nabla_{\mathbf{k}} \varepsilon \times \mathbf{B} = -\frac{e}{\hbar} \nabla_{\mathbf{k}} \tilde{\varepsilon} \times \mathbf{B} \quad \text{mit } \tilde{\varepsilon}(\mathbf{k}) = \varepsilon(\mathbf{k}) - \hbar \mathbf{k} \cdot \mathbf{u} \approx \varepsilon(\mathbf{k})$$

häufig sehr gute Näherung

→ k-Raum-Trajektorien sind durch Schnittlinien von Ebenen $\perp \mathbf{B}$ mit den Flächen $\varepsilon(\mathbf{k}) = \text{const}$ gegeben

• **Hall-Effekt** (Grenzfall $\omega_c \tau \gg 1$, hohe B-Felder, reine Proben, niedrige T)

für $t = \tau \gg$ Umlaufzeit $1/\omega_c$ gilt:

$$\frac{\mathbf{r}_\perp(\tau) - \mathbf{r}_\perp(0)}{\tau} = -\frac{\hbar}{eB} \hat{\mathbf{B}} \times \underbrace{\frac{[\mathbf{k}(\tau) - \mathbf{k}(0)]}{\tau}}_{\text{im Mittel} = 0 \text{ für } \omega_c \tau \gg 1} + \mathbf{u}$$

→ mittlere Bewegungskomponente durch geschlossene Bahnbewegung verschwindet

Hall-Koeffizient: $R_H = E_y / B J_x$

$$R_H = -\frac{1}{n_e e} \quad (\text{Elektronen}) \quad R_H = +\frac{1}{n_h e} \quad (\text{Löcher})$$

• **Streuprozesse**

- Abweichungen von strenger Periodizität des Kristallgitters:
 - **Kristalldefekte** (Fehlstellen, Fremdatome, Versetzungen, etc.)
 - H^p zeitunabhängig (elastisch)
 - **Phononen**
 - H^p zeitabhängig (inelastisch)
- Elektron-Elektron-Streuung

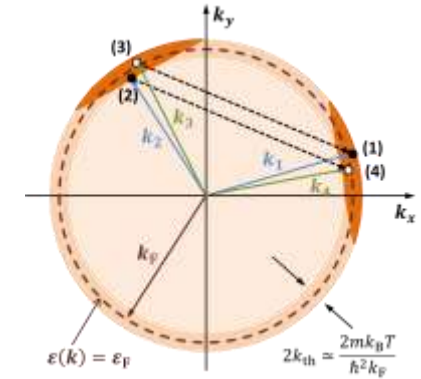
Berechnung mit qm Störungstheorie

$$P_{\mathbf{k}'\mathbf{k}} \propto |\langle \mathbf{k}' | \mathcal{H}^p | \mathbf{k} \rangle|^2 = \left| \int d^3r \Psi_{\mathbf{k}'}^*(\mathbf{r}) \mathcal{H}^p \Psi_{\mathbf{k}}(\mathbf{r}) \right|^2$$

- **Elektron-Elektron-Streuung:** starke Reduktion der möglichen Streuzustände durch Pauli-Blocking

$$P_{e-e}(T) = S_{e-e} \left(\frac{k_B T}{\epsilon_F} \right)^2$$

Unterdrückung um Faktor $\left(\frac{k_B T}{\epsilon_F} \right)^2 \approx 10^{-10}$ @ 1K
 $\approx 10^{-5}$ @ 300 K



- tiefe T : Elektron-Verunreinigung-Streuung dominiert
- hohen T : Elektron-Phonon-Streuung dominiert

- **Streuquerschnitte S_i und freie Weglängen ℓ_i :**

$$\frac{1}{\ell_i} = n_{si} S_i$$

$$\frac{1}{\ell_i} = n_{si} S_i = n_{si} \int_0^{2\pi} \int_0^{\pi} \underbrace{(1 - \cos \theta)}_{\text{Wichtungsfaktor}} \underbrace{\sigma_i(\theta)}_{\text{differentieller Wirkungsquerschnitt}} \sin \theta \, d\theta \, d\phi$$

Vorwärtsstreuung: $\theta = 0^\circ$, Wichtungsfaktor: 0
 Rückwärtsstreuung: $\theta = 180^\circ$, Wichtungsfaktor: 2

n_{si} : Dichte von Streuzentren,
 S_i : Streuquerschnitt

- **Matthiessen-Regel (1864):**

bei Vorliegen mehrerer voneinander unabhängiger Streuprozesse können reziproke Werte der mittleren freien Weglängen addiert werden:

$$\frac{1}{\ell} = \sum n_{si} S_i = \frac{1}{\ell_1} + \frac{1}{\ell_2} + \frac{1}{\ell_3} + \dots$$

$$\rho = \frac{mv}{ne^2} \sum \frac{1}{\ell_i} = \rho_1 + \rho_2 + \rho_3 + \dots$$

- **Elektron-Verunreinigung-Streuung:**

Neutrale Störstellen:

- Streuquerschnitte sind in etwa T -unabhängig:
- T -unabhängiger Beitrag zu Widerstand

$$S = \pi r_0^2 \left(\frac{V_0}{\epsilon_F} \right)^2 = \pi r_0^2 \left(\frac{k_V^2}{k_F^2} \right)^2$$

↑ Querschnittsfläche ↑ relative Höhe des Potentials

• Elektron-Verunreinigung-Streuung:

Geladene Störstellen:

- Streuquerschnitte sind in etwa T -unabhängig und $\propto Z^2$ (Quadrat der Valenzdifferenz):
- T -unabhängiger Beitrag zu Widerstand (**Lindesche Regel**)

$$\rho \propto S \simeq 2\pi \underbrace{\left(\frac{2mZe^2}{4\pi\epsilon_0\hbar^2k_F^2} \right)^2}_{\text{Querschnittsfläche } \propto Z^2, \text{ unabhängig von } T} \int_0^{2\pi} \frac{1}{[k_s^2/k_F^2 + 4\sin^2(\theta/2)]^2} (1 - \cos\theta) \sin\theta \, d\theta$$

Querschnittsfläche $\propto Z^2$, unabhängig von T

• Elektron-Phonon-Streuung:

ortsabhängiger Dehnung $\Delta(r)$ des Gitters erzeugt Streupotenzial $\delta\varepsilon_F(r) = \frac{\overbrace{\delta n(r)}^{n_0\Delta(r)}}{D(\varepsilon_F)/V} = \frac{2}{3} \varepsilon_F \Delta(r)$

(i) hohe T ($T \gg \Theta_D$): $\overline{\Delta^2} = \frac{\hbar^2 q_D^2 k_B T}{M k_B^2 \Theta_D^2} \rightarrow \frac{1}{\ell} \simeq n_A S_A \frac{\hbar^2 q_D^2 k_B T}{M k_B^2 \Theta_D^2} \rightarrow \rho_{\text{ph}}(T) \propto \frac{T}{M \Theta_D^2}$

(ii) tiefe T ($T \ll \Theta_D$) $\frac{1}{\ell} \simeq n_A \sigma_A \frac{\hbar^2 q_D^2 k_B T}{M k_B^2 \Theta_D^2} \left(\frac{T}{\Theta_D} \right)^4 \int_0^{\Theta_D/T} \frac{4x^4}{(\exp(x) - 1)} dx \rightarrow \rho_{\text{ph}}(T) \propto \left(\frac{T}{\Theta_D} \right)^5$ (**Bloch-Grüneisen-Gesetz**)

$$x = \frac{\hbar\omega_q}{k_B T} = \frac{\Theta_D}{T} \frac{q}{q_D}$$

9.4 Boltzmann-Transportgleichung

- Boltzmann-Transportgleichung wurde bereits zur Beschreibung des Ladungs- und Wärmetransports von freien Elektronen benutzt

- Zuwachs des mittleren Impulses durch äußere Kräfte: $\frac{\partial \langle \mathbf{k} \rangle}{\partial t} \Big|_{\text{Kraft}} = \mathbf{F} / \hbar$
- Impulsrelaxation durch Streuprozesse: $\frac{\partial \langle \mathbf{k} \rangle}{\partial t} \Big|_{\text{Streu}} = - \frac{\langle \mathbf{k} \rangle - \langle \mathbf{k} \rangle^0}{\tau}$
- Geschwindigkeit der freien Elektronen: $\mathbf{v} = \hbar \mathbf{k} / m$

➔ mittlere Geschwindigkeit hängt von der Besetzungswahrscheinlichkeit $f(\mathbf{k})$ der Zustände ab

➔ Besetzungswahrscheinlichkeit $f(\mathbf{k})$ wird mit Boltzmann-Transportgleichung bestimmt

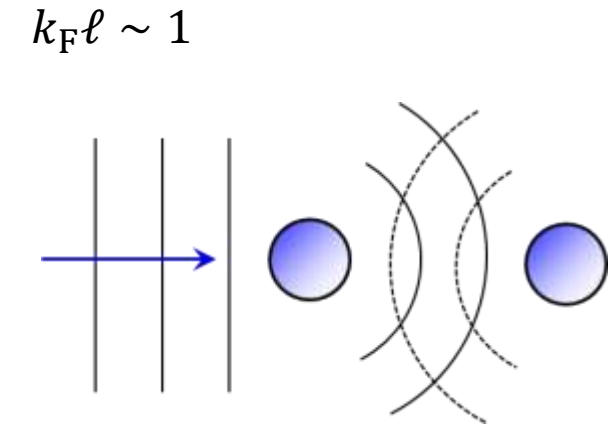
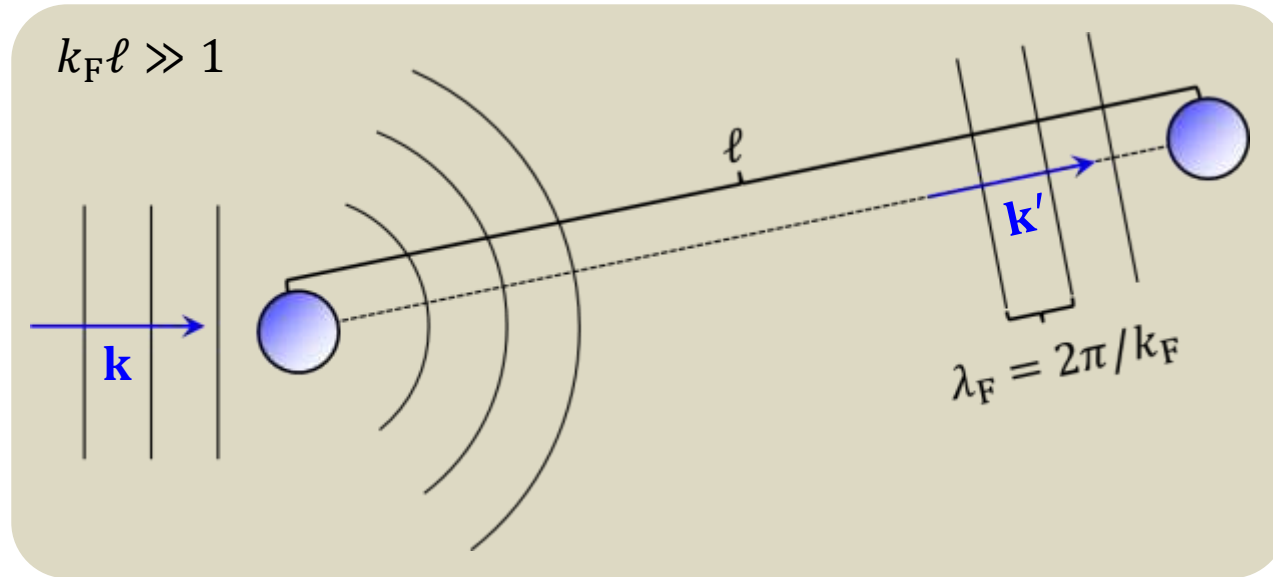
- Jetzt:

Bewegung von Kristallelektronen unter Wirkung von äußeren Kräften und relaxierenden Streuprozessen

- Zuwachs des mittleren Impulses durch äußere Kräfte: $\frac{\partial \langle \mathbf{k} \rangle}{\partial t} \Big|_{\text{Kraft}} = \mathbf{F} / \hbar$
- Impulsrelaxation durch Streuprozesse: $\frac{\partial \langle \mathbf{k} \rangle}{\partial t} \Big|_{\text{Streu}} = - \frac{\langle \mathbf{k} \rangle - \langle \mathbf{k} \rangle^0}{\tau}$
- Geschwindigkeit der freien Elektronen: $\mathbf{v}_n = \frac{1}{\hbar} \frac{\partial \varepsilon_n(\mathbf{k})}{\partial \mathbf{k}}$

9.4 Boltzmann-Transportgleichung

- Grundannahme: Transportprozesse können semiklassisch beschrieben werden



Voraussetzung:

- Beschreibung der Elektronen durch Bloch-Wellen mit wohldefiniertem Impuls
- erfordert

$$\lambda_F \gg \ell \quad \text{bzw.} \quad k_F \ell \gg 1$$

WMI

9.4.1 Boltzmann-Gleichung und Relaxationszeit

- Wiederholung: Ladungs- und Wärmestromdichte

Ladungsstromdichte

$$\mathbf{J}_q = \frac{q}{4\pi^3} \int \mathbf{v}(\mathbf{k}) f(\mathbf{k}) d^3k$$

Wärme- oder Energiestromdichte

$$\mathbf{J}_h = \frac{1}{4\pi^3} \int \underbrace{[\varepsilon(\mathbf{k}) - \mu]}_{\xi(\mathbf{k})} \mathbf{v}(\mathbf{k}) f(\mathbf{k}) d^3k$$

$$\mathbf{v}(\mathbf{k}) = \frac{1}{\hbar} \frac{\partial \varepsilon(\mathbf{k})}{\partial \mathbf{k}}$$

wir benötigen

- Bandstruktur $\varepsilon_n(\mathbf{k})$ (bereits diskutiert in Kapitel 8)
- Besetzungswahrscheinlichkeit $f(\varepsilon_n(\mathbf{k}))$ (erfolgt jetzt)

(Bandindex n wird meist weggelassen)

- Wodurch kommen Änderungen der Besetzungswahrscheinlichkeit $f(\varepsilon_n(\mathbf{k}))$ von Zuständen zustande?

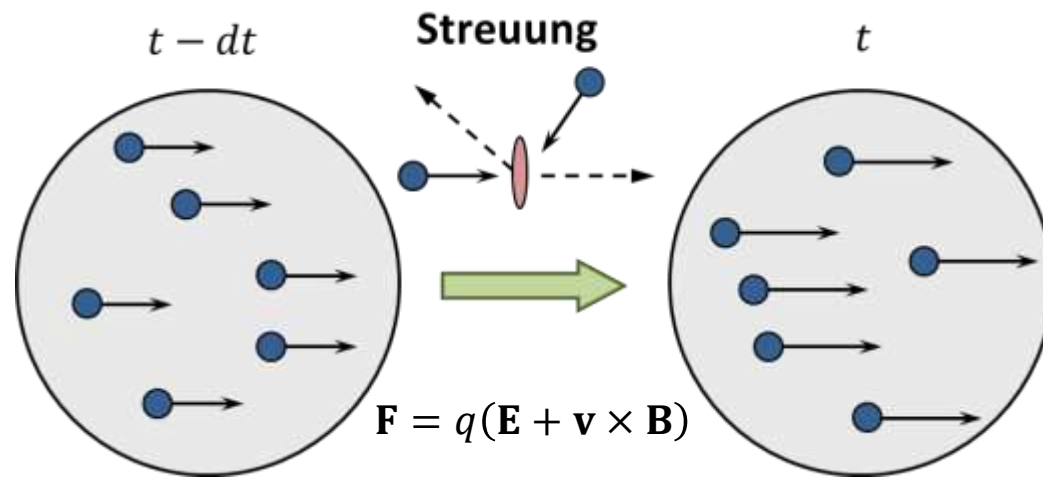
im Wesentlichen durch drei Prozesse

- **treibende externe Kräfte**, z.B. durch externe elektrische und magnetische Felder oder Temperaturgradienten
- **Diffusion** aufgrund von Schwankungen der räumlichen Elektronendichte
- **Impulsrelaxation durch Streuprozesse**

➔ Beschreibung durch Boltzmann-Gleichung

9.4.1 Boltzmann-Gleichung und Relaxationszeit

- zeitliche Änderung der Besetzungswahrscheinlichkeit in einem Testvolumen



Zeit $t - dt$: $\mathbf{r} - \mathbf{v}(\mathbf{k})dt$ $\mathbf{k} - \frac{\mathbf{F}}{\hbar} dt$
 Zeit t : \mathbf{r} \mathbf{k}

$$f\left(\mathbf{r} - \mathbf{v}dt, \mathbf{k} - \frac{\mathbf{F}}{\hbar}dt, t - dt\right) \longrightarrow f(\mathbf{r}, \mathbf{k}, t)$$

$$\Rightarrow f(\mathbf{r}, \mathbf{k}, t) = f\left(\mathbf{r} - \mathbf{v}dt, \mathbf{k} - \frac{\mathbf{F}}{\hbar}dt, t - dt\right) + \left(\frac{\partial f(\mathbf{r}, \mathbf{k}, t)}{\partial t}\right)_{\text{Streu}} dt$$

$$\Rightarrow \frac{f(\mathbf{r}, \mathbf{k}, t) - f\left(\mathbf{r} - \mathbf{v}dt, \mathbf{k} - \frac{\mathbf{F}}{\hbar}dt, t - dt\right)}{dt} = \frac{df(\mathbf{r}, \mathbf{k}, t)}{dt} = \left(\frac{\partial f(\mathbf{r}, \mathbf{k}, t)}{\partial t}\right)_{\text{Streu}}$$

9.4.1 Boltzmann-Gleichung und Relaxationszeit

- Boltzmann-Gleichung

$$\frac{df(\mathbf{r}, \mathbf{k}, t)}{dt} = \frac{\partial f(\mathbf{r}, \mathbf{k}, t)}{\partial t} + \left(\frac{\partial f(\mathbf{r}, \mathbf{k}, t)}{\partial \mathbf{r}} \right) \left(\frac{d\mathbf{r}}{dt} \right) + \left(\frac{\partial f(\mathbf{r}, \mathbf{k}, t)}{\partial \mathbf{k}} \right) \left(\frac{d\mathbf{k}}{dt} \right) = \left(\frac{\partial f(\mathbf{r}, \mathbf{k}, t)}{\partial t} \right)_{\text{Streu}}$$

– wir verwenden: $\frac{d\mathbf{k}}{dt} = \frac{\mathbf{F}(\mathbf{r}, t)}{\hbar} = -\frac{1}{\hbar} \nabla_r \varepsilon(\mathbf{r}, \mathbf{k}, t)$, $\frac{d\mathbf{r}}{dt} = \mathbf{v}$, $\frac{\partial f(\mathbf{r}, \mathbf{k}, t)}{\partial \mathbf{k}} = \frac{\partial f}{\partial \varepsilon} \nabla_{\mathbf{k}} \varepsilon(\mathbf{r}, \mathbf{k}, t) = \frac{\partial f}{\partial \varepsilon} \hbar \mathbf{v}(\mathbf{r}, \mathbf{k}, t)$

$$\frac{\partial f(\mathbf{r}, \mathbf{k}, t)}{\partial t} + \mathbf{v}(\mathbf{r}, \mathbf{k}, t) \cdot \nabla_r f(\mathbf{r}, \mathbf{k}, t) - \frac{\partial f}{\partial \varepsilon} \nabla_r \varepsilon(\mathbf{r}, \mathbf{k}, t) \cdot \mathbf{v}(\mathbf{r}, \mathbf{k}, t) = \left(\frac{\partial f(\mathbf{r}, \mathbf{k}, t)}{\partial t} \right)_{\text{Streu}}$$

Diffusionsterm
(räumliche Gradienten
der Verteilungsfunktion)

Feldterm
(bestimmt durch die
wirkenden Kräfte)

z.B. $\mathbf{F} = -\nabla_r \varepsilon(\mathbf{r}, \mathbf{k}, t) = q\mathbf{E}(\mathbf{r}, t) + q\mathbf{v} \times \mathbf{B}(\mathbf{r}, t)$

– stationärer Zustand:

$$\frac{\partial f(\mathbf{r}, \mathbf{k}, t)}{\partial t} = 0 \quad \Rightarrow \quad \mathbf{v}(\mathbf{r}, \mathbf{k}, t) \cdot \nabla_r f(\mathbf{r}, \mathbf{k}, t) - \frac{\partial f}{\partial \varepsilon} \nabla_r \varepsilon(\mathbf{r}, \mathbf{k}, t) \cdot \mathbf{v}(\mathbf{r}, \mathbf{k}, t) = \left(\frac{\partial f(\mathbf{r}, \mathbf{k}, t)}{\partial t} \right)_{\text{Streu}}$$

9.4.1 Boltzmann-Gleichung und Relaxationszeit

- Diskussion von einfachem Fall: stationärer Zustand, $E \neq 0$, $B = 0$, räumlich homogene Probe

$$\mathbf{F} = -\nabla_r \varepsilon(\mathbf{r}, \mathbf{k}, t) = q\mathbf{E}$$

$$\nabla_r f(\mathbf{r}, \mathbf{k}, t) = 0$$

$$\mathbf{v}(\mathbf{r}, \mathbf{k}, t) \cdot \nabla_r f(\mathbf{r}, \mathbf{k}, t) - \frac{\partial f}{\partial \varepsilon} \nabla_r \varepsilon(\mathbf{r}, \mathbf{k}, t) \cdot \mathbf{v}(\mathbf{r}, \mathbf{k}, t) = \left(\frac{\partial f(\mathbf{r}, \mathbf{k}, t)}{\partial t} \right)_{\text{Streu}}$$

$$\frac{\partial f(\mathbf{k})}{\partial \varepsilon} q\mathbf{E} \cdot \mathbf{v}(\mathbf{k}) = \left(\frac{\partial f(\mathbf{k})}{\partial t} \right)_{\text{Streu}}$$



$$\left(\frac{\partial f(\mathbf{k})}{\partial t} \right)_{\text{Streu}} = q\mathbf{E} \cdot \mathbf{v}(\mathbf{k}) \frac{\partial f(\mathbf{k})}{\partial \varepsilon}$$

Integro-Differentialgleichung

Problem bei der Lösung stellt der Streuterm dar, da dieser im Allgemeinen durch ein Streuintegral gegeben ist

$$\left(\frac{\partial f(\mathbf{k})}{\partial t} \right)_{\text{Streu}} \propto \int d\mathbf{k}' ([1 - f(\mathbf{k})]P_{\mathbf{k}\mathbf{k}'}f(\mathbf{k}') - [1 - f(\mathbf{k}')P_{\mathbf{k}'\mathbf{k}}f(\mathbf{k})]) \quad \text{mit } P_{\mathbf{k}'\mathbf{k}} \propto |\langle \mathbf{k}' | \mathcal{H}^p | \mathbf{k} \rangle|^2 = \left| \int d^3r \Psi_{\mathbf{k}'}^*(\mathbf{r}) \mathcal{H}^p \Psi_{\mathbf{k}}(\mathbf{r}) \right|^2$$

- Vereinfachungen:

➤ **Linearisierung** ➔ Beschränkung auf kleine Abweichungen vom Gleichgewicht

➤ **Relaxationszeit-Näherung** ➔ Beschreibung der Streuprozesse mit einfacher Relaxationsrate τ^{-1}

9.4.2 Linearisierte Boltzmann-Gleichung

- Annahme: Abweichungen von der Gleichgewichtsverteilungsfunktion $f_0(\mathbf{k})$ sind klein

$$f(\mathbf{k}, \mathbf{r}, t) = f_0(\mathbf{k}) + \delta f(\mathbf{k}, \mathbf{r}, t) \quad \text{mit} \quad f_0(\mathbf{k}) = \frac{1}{\exp\left(\frac{\varepsilon_0(\mathbf{k}) - \mu_0}{k_B T_0}\right) + 1}$$

- für die Gradienten gilt, da $f_0, \varepsilon_0, \mu_0, T_0$ räumlich und zeitlich konstant sind:

$$\nabla_{\mathbf{r}} f = \nabla_{\mathbf{r}} \delta f \quad \frac{\partial f}{\partial t} = \frac{\partial \delta f}{\partial t} \quad \nabla_{\mathbf{k}} f = \frac{\partial f}{\partial \varepsilon} \nabla_{\mathbf{k}} \varepsilon = \frac{\partial f}{\partial \varepsilon} \hbar \mathbf{v} \quad \nabla_{\mathbf{r}} \varepsilon = \nabla_{\mathbf{r}} \delta \varepsilon$$

- einsetzen in die Boltzmann-Transportgleichung

$$\frac{\partial f(\mathbf{r}, \mathbf{k}, t)}{\partial t} + \mathbf{v}(\mathbf{r}, \mathbf{k}, t) \cdot \nabla_{\mathbf{r}} f(\mathbf{r}, \mathbf{k}, t) - \frac{\partial f}{\partial \varepsilon} \nabla_{\mathbf{r}} \varepsilon(\mathbf{r}, \mathbf{k}, t) \cdot \mathbf{v}(\mathbf{r}, \mathbf{k}, t) = \left(\frac{\partial f(\mathbf{r}, \mathbf{k}, t)}{\partial t} \right)_{\text{Streu}}$$

ergibt:
$$\frac{\partial \delta f}{\partial t} + \mathbf{v} \cdot \nabla_{\mathbf{r}} \delta f - \frac{1}{\hbar} \nabla_{\mathbf{r}} \delta \varepsilon \cdot \frac{\partial f}{\partial \varepsilon} \hbar \mathbf{v} = \left(\frac{\partial \delta f}{\partial t} \right)_{\text{Streu}}$$

$$\frac{\partial \delta f(\mathbf{k}, \mathbf{r}, t)}{\partial t} + \mathbf{v}(\mathbf{r}, \mathbf{k}, t) \cdot \nabla_{\mathbf{r}} \delta f(\mathbf{k}, \mathbf{r}, t) - \frac{\partial f}{\partial \varepsilon} \nabla_{\mathbf{r}} \delta \varepsilon(\mathbf{k}, \mathbf{r}, t) \cdot \mathbf{v}(\mathbf{r}, \mathbf{k}, t) = \left(\frac{\partial \delta f(\mathbf{k}, \mathbf{r}, t)}{\partial t} \right)_{\text{Streu}} = \delta I_{\text{Streu}}$$

Diffusionsterm

Feldterm

linearisierte Boltzmann-Transportgleichung

immer noch kompliziertes
Streuintegral δI_{Streu}

9.4.3 Relaxationszeitansatz

- Approximation des komplizierten Streutermes durch einfachen Relaxationszeitansatz

$$\left(\frac{\partial \delta f(\mathbf{k}, \mathbf{r}, t)}{\partial t} \right)_{\text{Streu}} = \delta I_{\text{Streu}} = - \frac{f(\mathbf{k}, \mathbf{r}, t) - f_0^{\text{loc}}(\mathbf{k}, \mathbf{r}, t)}{\tau(\mathbf{k})} = - \frac{g(\mathbf{k}, \mathbf{r}, t)}{\tau(\mathbf{k})}$$

Beschreibung aller Streuprozesse durch eine \mathbf{k} -abhängige Streurzeit $\tau(\mathbf{k})$

- Verwendung von **lokaler Gleichgewichtsverteilungsfunktion** $f_0^{\text{loc}}[\varepsilon(\mathbf{k}, \mathbf{r}, t), \mu(\mathbf{r}, t), T(\mathbf{r}, t)]$

$$f_0^{\text{loc}}(\mathbf{k}, \mathbf{r}, t) = \frac{1}{\exp\left(\frac{[\varepsilon_0(\mathbf{k}) + \delta\varepsilon(\mathbf{r}, t)] - [\mu_0 + \delta\mu(\mathbf{r}, t)]}{k_B [T_0 + \delta T(\mathbf{r}, t)]}\right) + 1}$$

hierbei geben $\delta\varepsilon(\mathbf{r}, t)$, $\delta\mu(\mathbf{r}, t)$ und $\delta T(\mathbf{r}, t)$ die lokalen Änderungen der potenziellen Energie $\varepsilon = \varepsilon_0 + \delta\varepsilon$, des chemischen Potentials $\mu = \mu_0 + \delta\mu$ und der Temperatur $T = T_0 + \delta T$ an

Beispiel: es wirken nur elektrische und magnetische Felder

es gilt: $\delta\varepsilon(\mathbf{r}, t) = q\phi(\mathbf{r}, t) - q\mathbf{v} \cdot \mathbf{A}(\mathbf{r}, t)$ ($\mathbf{F} = -\nabla_{\mathbf{r}}\delta\varepsilon(\mathbf{r}, t) = q\mathbf{E}(\mathbf{r}, t) + q\mathbf{v} \times \mathbf{B}(\mathbf{r}, t)$, für Elektronen: $q = -e$)
 $\phi(\mathbf{r}, t)$ = elektrostatische Potenzial, $\mathbf{A}(\mathbf{r}, t)$ = Vektorpotenzial

- **neue Verteilungsfunktion** $g(\mathbf{k}, \mathbf{r}, t)$: gibt Abweichung von $f(\mathbf{k}, \mathbf{r}, t)$ von $f_0^{\text{loc}}(\mathbf{k}, \mathbf{r}, t)$:

$$g(\mathbf{k}, \mathbf{r}, t) = f(\mathbf{k}, \mathbf{r}, t) - f_0^{\text{loc}}[\varepsilon(\mathbf{k}, \mathbf{r}, t), \mu(\mathbf{r}, t), T(\mathbf{r}, t)] = f(\mathbf{k}, \mathbf{r}, t) - f_0^{\text{loc}}(\mathbf{k}, \mathbf{r}, t)$$

9.4.3 Relaxationszeitansatz

- lokale Gleichgewichtsverteilungsfunktion $f_0^{\text{loc}}(\mathbf{k}, \mathbf{r}, t)$

$$f_0^{\text{loc}}[\varepsilon(\mathbf{k}, \mathbf{r}, t), \mu(\mathbf{r}, t), T(\mathbf{r}, t)] \quad \text{mit } \varepsilon = \varepsilon_0 + \delta\varepsilon, \mu = \mu_0 + \delta\mu, T = T_0 + \delta T$$

- sind $\delta\varepsilon(\mathbf{r}, t)$, $\delta\mu(\mathbf{r}, t)$ und $\delta T(\mathbf{r}, t)$ klein, so können wir $f_0^{\text{loc}}(\mathbf{k}, \mathbf{r}, t)$ in Taylor-Reihe entwickeln und nach 1. Entwicklungsglied abbrechen:

$$f_0^{\text{loc}}(\mathbf{k}, \mathbf{r}, t) = f_0(\mathbf{k}) + \frac{\partial f_0}{\partial \varepsilon} \delta\varepsilon + \frac{\partial f_0}{\partial \mu} \delta\mu + \frac{\partial f_0}{\partial T} \delta T + \dots \quad \text{wir benutzen: } \frac{\partial f_0}{\partial T} = \left(-\frac{\partial f_0}{\partial \varepsilon}\right) \frac{\varepsilon - \mu}{T} = \left(-\frac{\partial f_0}{\partial \varepsilon}\right) \frac{\xi}{T}, \quad \frac{\partial f_0}{\partial \mu} = \left(-\frac{\partial f_0}{\partial \varepsilon}\right)$$

$$\Rightarrow \delta f^{\text{loc}}(\mathbf{k}, \mathbf{r}, t) \simeq f_0^{\text{loc}}(\mathbf{k}, \mathbf{r}, t) - f_0(\mathbf{k}) = \frac{\partial f_0}{\partial \varepsilon} \left[\delta\varepsilon - \delta\mu - \frac{\xi}{T} \delta T \right] = - \underbrace{\frac{1}{4k_B T \cosh^2 \frac{\xi}{2k_B T}}}_{\varphi_k = -\partial f_0 / \partial \varepsilon} \left[\delta\varepsilon - \delta\mu - \frac{\xi}{T} \delta T \right]$$

- lokale Abweichung $\delta f^{\text{loc}}(\mathbf{k}, \mathbf{r}, t)$ von Gleichgewichtsverteilungsfunktion $f_0(\mathbf{k})$

$$\delta f^{\text{loc}}(\mathbf{k}, \mathbf{r}, t) \simeq - \frac{1}{4k_B T \cosh^2 \frac{\xi}{2k_B T}} \left[\delta\varepsilon - \delta\mu - \frac{\xi}{T} \delta T \right] = -\varphi_k \left[\delta\varepsilon - \delta\mu - \frac{\xi}{T} \delta T \right]$$

enthält Effekte von $\varepsilon = \varepsilon_0 + \delta\varepsilon$, $\mu = \mu_0 + \delta\mu$ und $T = T_0 + \delta T$, wobei $\delta\varepsilon(\mathbf{r}, t) = q\phi(\mathbf{r}, t) - q\mathbf{v} \cdot \mathbf{A}(\mathbf{r}, t)$

9.4.3 Relaxationszeitansatz

- Lokale Teilchen, Ladungs- und Energiedichte

- lokale Abweichung von Gleichgewichtsverteilungsfunktion $\delta f^{\text{loc}}(\mathbf{k}, \mathbf{r}, t) = -\varphi_k \left[\delta\varepsilon - \delta\mu - \frac{\xi}{T} \delta T \right]$ $\xi = \varepsilon - \mu_0$

enthält Effekte von $\varepsilon = \varepsilon_0 + \delta\varepsilon$, $\mu = \mu_0 + \delta\mu$ und $T = T_0 + \delta T$, wobei $\delta\varepsilon(\mathbf{r}, t) = q\phi(\mathbf{r}, t) - q\mathbf{v} \cdot \mathbf{A}(\mathbf{r}, t)$

- $\delta f^{\text{loc}}(\mathbf{k}, \mathbf{r}, t)$ ist verbunden mit lokalen Abweichungen der **Teilchen-, Ladungs- und Energiedichte**

- Lokale Teilchendichte

$$\delta n(\mathbf{r}, t) = \frac{2}{V} \int Z(\mathbf{k}) \delta f^{\text{loc}}(\mathbf{k}, \mathbf{r}, t) d^3k = \frac{1}{4\pi^3 V} \int \delta f^{\text{loc}}(\mathbf{k}, \mathbf{r}, t) d^3k = \frac{1}{V} \int D(\varepsilon) \delta f^{\text{loc}}(\varepsilon(\mathbf{k}), \mathbf{r}, t) d\varepsilon$$

$$\delta n(\mathbf{r}, t) = -\frac{1}{V} \int D(\varepsilon) \varphi_k \left[\delta\varepsilon - \delta\mu - \frac{\xi}{T} \delta T \right] d\varepsilon = -\frac{1}{V} \int D(\varepsilon) \underbrace{\frac{1}{4k_B T \cosh^2 \frac{\xi}{2k_B T}}}_{\simeq \delta(\varepsilon - \mu_0)} \left[\delta\varepsilon - \delta\mu - \frac{\varepsilon - \mu_0}{T} \delta T \right] d\varepsilon$$

$\simeq \delta(\varepsilon - \mu_0)$ für nicht allzu hohe Temperaturen

9.4.3 Relaxationszeitansatz

- Lokale Teilchen- und Ladungsdichte

$$\delta n(\mathbf{r}, t) \simeq \frac{1}{V} \int D(\varepsilon) \delta(\varepsilon - \mu_0) \left[-\delta\varepsilon + \delta\mu + \frac{\varepsilon - \mu_0}{T} \delta T \right] d\varepsilon$$

für $\delta\varepsilon(\mathbf{r}, t) = q\phi(\mathbf{r}, t)$

$$\delta n(\mathbf{r}, t) = \frac{D(\mu_0)}{V} [\delta\mu(\mathbf{r}, t) - q\phi(\mathbf{r}, t)]$$

Teilchendichte

$$\delta\rho(\mathbf{r}, t) = q\delta n(\mathbf{r}, t) = \frac{q D(\mu_0)}{V} [\delta\mu(\mathbf{r}, t) - q\phi(\mathbf{r}, t)]$$

Ladungsdichte

- Lokale Energiedichte

$$\delta\tilde{\varepsilon}(\mathbf{r}, t) = -\frac{1}{V} \int \varepsilon D(\varepsilon) \underbrace{\frac{1}{4k_B T \cosh^2 \frac{\xi}{2k_B T}}}_{\simeq \delta(\varepsilon - \mu_0) = \left(-\frac{\partial f_0}{\partial \varepsilon}\right)} \left[\delta\varepsilon - \delta\mu - \frac{\varepsilon - \mu_0}{T} \delta T \right] d\varepsilon = \mu \delta n(\mathbf{r}, t) + c_V(T) \delta T(\mathbf{r}, t)$$

$$\delta\tilde{\varepsilon}(\mathbf{r}, t) = \mu_0 \delta n(\mathbf{r}, t) + c_V(T) \delta T(\mathbf{r}, t) \quad \text{Energiedichte}$$

es gilt:

$$c_V = \frac{1}{V} \frac{\partial U}{\partial T} = \frac{1}{V} \frac{\partial}{\partial T} \int \varepsilon D(\varepsilon) f(\varepsilon) d\varepsilon$$

mit $\frac{\partial f}{\partial T} = -\frac{\partial f}{\partial \varepsilon} \frac{\varepsilon - \mu_0}{T}$ folgt

$$c_V = \frac{1}{V} \int \varepsilon D(\varepsilon) \left(-\frac{\partial f_0}{\partial \varepsilon} \right) \frac{\varepsilon - \mu_0}{T} d\varepsilon$$

9.4.3 Relaxationszeitansatz

- Linearisierte Boltzmann-Gleichung für $g(\mathbf{k}, \mathbf{r}, t)$
 - Ausgangspunkt: **linearisierte Boltzmann-Transportgleichung**

$$\frac{\partial \delta f(\mathbf{k}, \mathbf{r}, t)}{\partial t} + \mathbf{v}(\mathbf{r}, \mathbf{k}, t) \cdot \nabla_{\mathbf{r}} \delta f(\mathbf{k}, \mathbf{r}, t) - \frac{\partial f}{\partial \varepsilon} \nabla_{\mathbf{r}} \delta \varepsilon(\mathbf{k}, \mathbf{r}, t) \cdot \mathbf{v}(\mathbf{r}, \mathbf{k}, t) = \left(\frac{\partial \delta f(\mathbf{k}, \mathbf{r}, t)}{\partial t} \right)_{\text{Streu}} = \delta I_{\text{Streu}}$$

- es gilt $g = f - f_0^{\text{loc}} = f - f_0 - (f_0^{\text{loc}} - f_0) = \delta f - \delta f^{\text{loc}} \Rightarrow \delta f = g + \delta f^{\text{loc}}$
- Einsetzen von $\delta f = g + \delta f^{\text{loc}}$ in linearisierte Boltzmann-Transportgleichung ergibt:

$$\Rightarrow \frac{\partial (g + \delta f^{\text{loc}})}{\partial t} + \mathbf{v} \cdot \nabla_{\mathbf{r}} (g + \delta f^{\text{loc}}) + \varphi_k \nabla_{\mathbf{r}} \delta \varepsilon \cdot \mathbf{v} = -\frac{g}{\tau}$$

mit $\delta f^{\text{loc}} = -\varphi_k \left[\delta \varepsilon - \delta \mu - \frac{\xi}{T} \delta T \right]$ erhalten wir

$$\Rightarrow \frac{\partial g}{\partial t} + \frac{\partial \left\{ -\varphi_k \left[\delta \varepsilon - \delta \mu - \frac{\xi}{T} \delta T \right] \right\}}{\partial t} + \mathbf{v} \cdot \nabla_{\mathbf{r}} g + \mathbf{v} \cdot \nabla_{\mathbf{r}} \left\{ -\varphi_k \left[\delta \varepsilon - \delta \mu - \frac{\xi}{T} \delta T \right] \right\} + \varphi_k \nabla_{\mathbf{r}} \delta \varepsilon \cdot \mathbf{v} = -\frac{g}{\tau}$$

9.4.3 Relaxationszeitansatz

$$\frac{\partial g}{\partial t} + \frac{\partial \left\{ -\varphi_k \left[\delta\varepsilon - \delta\mu - \frac{\xi}{T} \delta T \right] \right\}}{\partial t} + \mathbf{v} \cdot \nabla_{\mathbf{r}} g + \mathbf{v} \cdot \nabla_{\mathbf{r}} \left\{ -\varphi_k \left[\delta\varepsilon - \delta\mu - \frac{\xi}{T} \delta T \right] \right\} + \varphi_k \nabla_{\mathbf{r}} \delta\varepsilon \cdot \mathbf{v} = -\frac{g}{\tau}$$

- wir verwenden $\delta\varepsilon = q\phi - q\mathbf{v} \cdot \mathbf{A}$, $\mathbf{E} = -\nabla_{\mathbf{r}}\phi - \partial\mathbf{A}/\partial t$ und $\delta n = (\delta\mu - q\phi)D(\mu_0)/V$ und erhalten

$$\left[\frac{\partial}{\partial t} + \frac{1}{\tau} + \mathbf{v} \cdot \nabla_{\mathbf{r}} \right] g + \varphi_k \frac{\partial}{\partial t} \left[q\mathbf{v} \cdot \mathbf{A} + \frac{\delta n}{D(\mu)/V} + \frac{\xi}{T} \delta T \right] - \varphi_k \mathbf{v} \cdot \nabla_{\mathbf{r}} \left[\underbrace{q\phi + ev \cdot A - \delta\mu - \frac{\xi}{T} \delta T - q\phi - ev \cdot A}_{-\frac{\delta n}{D(\mu)/V} - \frac{\xi}{T} \delta T - q\phi} \right] = 0$$

$$\rightarrow \left[\frac{\partial}{\partial t} + \frac{1}{\tau} + \mathbf{v} \cdot \nabla_{\mathbf{r}} \right] g + \varphi_k \frac{\partial}{\partial t} \left[\frac{\delta n}{D(\mu)/V} + \frac{\xi}{T} \delta T \right] - \varphi_k \mathbf{v} \cdot \left[\underbrace{q\mathbf{E} - \nabla_{\mathbf{r}} \frac{\delta n}{D(\mu)/V} - \frac{\xi}{T} \nabla_{\mathbf{r}} \delta T}_{q\mathbf{E} = -\nabla_{\mathbf{r}} q\phi - q \partial\mathbf{A}/\partial t \text{ (eichinvariantes E-Feld)}} \right] = 0$$

- multiplizieren mit τ :

$$\left[\tau \frac{\partial}{\partial t} + 1 + \tau \mathbf{v} \cdot \nabla_{\mathbf{r}} \right] g + \varphi_k \tau \frac{\partial}{\partial t} \left[\frac{\delta n}{D(\mu_0)/V} + \frac{\xi}{T} \delta T \right] - \tau \varphi_k \mathbf{v} \cdot \left[q\mathbf{E} - \nabla_{\mathbf{r}} \frac{\delta n}{D(\mu_0)/V} - \frac{\xi}{T} \nabla_{\mathbf{r}} \delta T \right] = 0$$

→ wir vernachlässigen Terme in höherer Ordnung: $\tau \frac{\partial}{\partial t}$ und $\tau \mathbf{v} \cdot \nabla_{\mathbf{r}}$ (2. Zeit- und Ortsableitungen)

9.4.3 Relaxationszeitansatz

$$g(\mathbf{k}, \mathbf{r}, t) = \tau \varphi_{\mathbf{k}} \mathbf{v} \cdot \left[q \mathbf{E}(\mathbf{r}, t) - \nabla_{\mathbf{r}} \frac{\delta n(\mathbf{r}, t)}{D(\mu_0)/V} - \frac{\xi}{T} \nabla_{\mathbf{r}} \delta T(\mathbf{r}, t) \right]$$

die Funktion $g(\mathbf{k}, \mathbf{r}, t)$ ist Ausgangspunkt für die Berechnung der Transportkoeffizienten

$$\varphi_{\mathbf{k}} = \frac{1}{4k_{\text{B}}T \cosh^2 \frac{\xi}{2k_{\text{B}}T}} = \left(-\frac{\partial f_0}{\partial \varepsilon} \right)$$

verallgemeinerte Kraft A

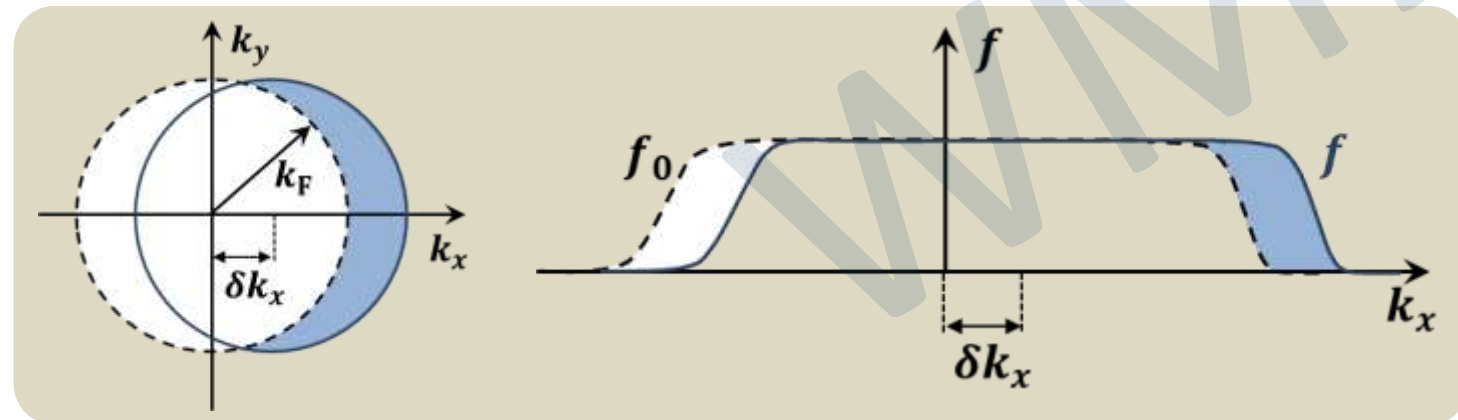
Beispiel: räumlich homogener Fall, keine Temperaturgradienten: $\nabla_{\mathbf{r}} \delta n = 0, \nabla_{\mathbf{r}} \delta T = 0, f_0^{\text{loc}} = f_0$

$$g(\mathbf{k}, \mathbf{r}, t) = g(\mathbf{k}) = -\frac{\partial f_0}{\partial \varepsilon} \tau \mathbf{v} \cdot q \mathbf{E} = -\frac{\partial f_0}{\partial k} \frac{\tau q \mathbf{v} \cdot \mathbf{E}}{|\nabla_{\mathbf{k}} \varepsilon|} = -\frac{\partial f_0}{\partial k} \frac{\tau q \mathbf{v} \cdot \mathbf{E}}{\hbar v} = -\frac{\partial f_0}{\partial k} \cdot \frac{qE\tau}{\hbar}$$

da $f = f_0 + g \simeq f_0 - \frac{\partial f_0}{\partial k} \cdot \frac{qE\tau}{\hbar} = f^{\text{loc}} - \frac{\partial f_0}{\partial k} \cdot \delta k$ mit $\delta k = \frac{qE\tau}{\hbar}$, kann f als Entwicklung von f_0 aufgefasst werden:

➔ $f(\mathbf{k}) = f_0(\mathbf{k} - \delta \mathbf{k}) = f_0 \left(\mathbf{k} - \frac{qE\tau}{\hbar} \right)$

entspricht einer um $\delta \mathbf{k} = \frac{qE\tau}{\hbar}$ verschobene Fermi-Kugel



9.5 Thermoelektrische und thermomagnetische Effekte

- Berechnung der Transportkoeffizienten mit $g(\mathbf{k}, \mathbf{r}, t)$

→ wir diskutieren nur den stationären und räumlich homogenen Fall ($\nabla_{\mathbf{r}} \delta n(\mathbf{r}, t) = 0$) und nehmen $B = 0$ an

$$g(\mathbf{k}, \mathbf{r}, t) = \tau \varphi_{\mathbf{k}} \mathbf{v} \cdot \left[q \mathbf{E}(\mathbf{r}, t) - \nabla_{\mathbf{r}} \frac{\delta n(\mathbf{r}, t)}{D(\mu_0)/V} - \frac{\xi}{T} \nabla_{\mathbf{r}} \delta T(\mathbf{r}, t) \right] = \tau \varphi_{\mathbf{k}} \mathbf{v} \cdot \underbrace{\left[q \mathbf{E}(\mathbf{r}, t) - \frac{\xi}{T} \nabla_{\mathbf{r}} \delta T(\mathbf{r}, t) \right]}_{\text{verallgemeinerte Kraft } \mathcal{A}(\mathbf{r}, t)}$$

$$\varphi_{\mathbf{k}} = \frac{1}{4k_{\text{B}}T \cosh^2 \frac{\xi}{2k_{\text{B}}T}} = -\frac{\partial f_0}{\partial \varepsilon}$$

$$g(\mathbf{k}, \mathbf{r}, t) = \tau(\mathbf{k}) \varphi_{\mathbf{k}} \mathbf{v}(\mathbf{k}) \cdot \mathcal{A}(\mathbf{r}, t) = \tau(\mathbf{k}) \left(-\frac{\partial f_0}{\partial \varepsilon} \right) \mathbf{v}(\mathbf{k}) \cdot \mathcal{A}(\mathbf{r}, t)$$



9.5.1 Thermoelektrische Effekte

- elektrische Stromdichte

$$\mathbf{J}_q = \frac{q}{4\pi^3 \hbar} \int \nabla_{\mathbf{k}} \varepsilon(\mathbf{k}) f(\mathbf{k}) d^3k = \frac{q}{4\pi^3} \int \mathbf{v}(\mathbf{k}) f(\mathbf{k}) d^3k \quad \text{mit } f(\mathbf{k}) = f_0(\mathbf{k}) + g(\mathbf{k})$$

$$\mathbf{J}_q = \underbrace{\frac{q}{4\pi^3} \int \mathbf{v}(\mathbf{k}) f_0(\mathbf{k}) d^3k}_{= 0} + \frac{q}{4\pi^3} \int \mathbf{v}(\mathbf{k}) g(\mathbf{k}) d^3k = \frac{q}{4\pi^3} \int \mathbf{v}(\mathbf{k}) g(\mathbf{k}) d^3k$$

mit $g(\mathbf{k}, \mathbf{r}, t) = \tau(\mathbf{k}) \varphi_k \mathbf{v}(\mathbf{k}) \cdot \mathcal{A}(\mathbf{r}, t) = \tau(\mathbf{k}) \left(-\frac{\partial f_0}{\partial \varepsilon} \right) \mathbf{v}(\mathbf{k}) \cdot \mathcal{A}(\mathbf{r}, t)$ und $\mathcal{A}(\mathbf{r}, t) = q \mathbf{E}(\mathbf{r}, t) - \frac{\xi}{T} \nabla_{\mathbf{r}} \delta T(\mathbf{r}, t)$ erhalten wir

$$\begin{aligned} \mathbf{J}_q &= \frac{q}{4\pi^3} \int \mathbf{v}(\mathbf{k}) g(\mathbf{k}) d^3k \\ &= \frac{q}{4\pi^3} \int \tau(\mathbf{k}) \left(-\frac{\partial f_0}{\partial \varepsilon} \right) \mathbf{v}(\mathbf{k}) \otimes \mathbf{v}(\mathbf{k}) \cdot \mathcal{A}(\mathbf{r}, t) d^3k \end{aligned}$$

dyadisches Produkt

$$x \otimes y = x \cdot y^T = \begin{pmatrix} x_1 \\ \vdots \\ x_m \end{pmatrix} \cdot (y_1 \quad \dots \quad y_n) = \begin{pmatrix} x_1 y_1 & \dots & x_1 y_n \\ \vdots & \ddots & \vdots \\ x_m y_1 & \dots & x_m y_n \end{pmatrix}$$

Aufteilen des Volumenintegrals in Integrale über Schalen konstanter Energie: $d^3k = dS_\varepsilon dk_\perp = dS_\varepsilon \frac{d\varepsilon}{|\nabla_{\mathbf{k}} \varepsilon|} = dS_\varepsilon \frac{d\varepsilon}{\hbar v(\mathbf{k})}$

$$\mathbf{J}_q = \frac{q}{4\pi^3 \hbar} \iint dS_\varepsilon d\varepsilon \frac{\tau(\mathbf{k}) \mathbf{v}(\mathbf{k}) \otimes \mathbf{v}(\mathbf{k})}{v(\mathbf{k})} \left(-\frac{\partial f_0}{\partial \varepsilon} \right) \cdot q \mathbf{E}(\mathbf{r}, t) + \frac{q}{4\pi^3 \hbar} \iint dS_\varepsilon d\varepsilon \frac{\tau(\mathbf{k}) \mathbf{v}(\mathbf{k}) \otimes \mathbf{v}(\mathbf{k})}{v(\mathbf{k})} \left(-\frac{\partial f_0}{\partial \varepsilon} \right) \cdot \left[\frac{\xi(\mathbf{k})}{T} \nabla_{\mathbf{r}} \delta T(\mathbf{r}, t) \right]$$

9.5.1 Thermoelektrische Effekte

da wegen $k_B T \ll \varepsilon_F$ die Temperaturverschmierung der Fermi-Verteilung sehr klein ist, können wir meist als sehr gute Näherung $\left(-\frac{\partial f_0}{\partial \varepsilon}\right) \simeq \delta(\varepsilon - \varepsilon_F)$ verwenden

→ es verbleibt nur Integral über die Fermi-Fläche $S_\varepsilon = S_F$

$$\mathbf{J}_q = \frac{q}{4\pi^3} \int \tau(\mathbf{k}) \left(-\frac{\partial f_0}{\partial \varepsilon}\right) \mathbf{v}(\mathbf{k}) \otimes \mathbf{v}(\mathbf{k}) \cdot \mathcal{A}(\mathbf{r}, t) d^3k \quad \Rightarrow \quad \mathbf{J}_q = \frac{q}{4\pi^3} \int_{\varepsilon=\varepsilon_F} dS_F \frac{\tau(\mathbf{k}) \mathbf{v}(\mathbf{k}) \otimes \mathbf{v}(\mathbf{k})}{\hbar v(\mathbf{k})} \cdot \mathcal{A}(\mathbf{r}, t)$$

mit $\mathcal{A}(\mathbf{r}, t) = q \mathbf{E}(\mathbf{r}, t) - \frac{\xi}{T} \nabla_{\mathbf{r}} \delta T(\mathbf{r}, t)$ erhalten wir

$$\mathbf{J}_q = \frac{q}{4\pi^3 \hbar} \int_{\varepsilon=\varepsilon_F} dS_F \frac{\tau(\mathbf{k}) \mathbf{v}(\mathbf{k}) \otimes \mathbf{v}(\mathbf{k})}{v(\mathbf{k})} \cdot q \mathbf{E}(\mathbf{r}, t) + \frac{q}{4\pi^3 \hbar} \int_{\varepsilon=\varepsilon_F} dS_F \frac{\tau(\mathbf{k}) \mathbf{v}(\mathbf{k}) \otimes \mathbf{v}(\mathbf{k})}{v(\mathbf{k})} \cdot \left[-\frac{\xi(\mathbf{k})}{T} \nabla_{\mathbf{r}} \delta T(\mathbf{r}, t) \right]$$

- elektrische Stromdichte wird sowohl durch elektrisches Feld und Temperaturgradienten getrieben
- Ladungstransport ist immer mit Wärmetransport verbunden und umgekehrt

thermoelektrische Kopplung

9.5.1 Thermoelektrische Effekte

- Wärmestromdichte

$$\mathbf{J}_h = \frac{1}{4\pi^3 \hbar} \int \xi(\mathbf{k}) \nabla_{\mathbf{k}} \varepsilon(\mathbf{k}) f(\mathbf{k}) d^3k = \frac{1}{4\pi^3} \int \xi(\mathbf{k}) \mathbf{v}(\mathbf{k}) f(\mathbf{k}) d^3k \quad \text{mit } f(\mathbf{k}) = f_0(\mathbf{k}) + g(\mathbf{k})$$

$$\xi(\mathbf{k}) = \varepsilon(\mathbf{k}) - \mu_0$$

$$\mathbf{J}_h = \underbrace{\frac{1}{4\pi^3} \int \xi(\mathbf{k}) \mathbf{v}(\mathbf{k}) f_0(\mathbf{k}) d^3k}_{=0} + \frac{1}{4\pi^3} \int \xi(\mathbf{k}) \mathbf{v}(\mathbf{k}) g(\mathbf{k}) d^3k = \frac{1}{4\pi^3} \iint \xi(\mathbf{k}) \mathbf{v}(\mathbf{k}) g(\mathbf{k}) \frac{dS_\varepsilon}{\hbar v(\mathbf{k})} d\varepsilon$$

mit $g(\mathbf{k}, \mathbf{r}, t) = \tau(\mathbf{k}) \varphi_k \mathbf{v}(\mathbf{k}) \cdot \mathcal{A}(\mathbf{r}, t) = \tau(\mathbf{k}) \left(-\frac{\partial f_0}{\partial \varepsilon} \right) \mathbf{v}(\mathbf{k}) \cdot \mathcal{A}(\mathbf{r}, t)$ und $\mathcal{A}(\mathbf{r}, t) = q \mathbf{E}(\mathbf{r}, t) - \frac{\xi}{T} \nabla_{\mathbf{r}} \delta T(\mathbf{r}, t)$ erhalten wir

$$\mathbf{J}_h = \frac{1}{4\pi^3 \hbar} \iint \xi(\mathbf{k}) \tau(\mathbf{k}) \left(-\frac{\partial f_0}{\partial \varepsilon} \right) \frac{\mathbf{v}(\mathbf{k}) \otimes \mathbf{v}(\mathbf{k})}{v(\mathbf{k})} \cdot \mathcal{A}(\mathbf{r}, t) dS_\varepsilon d\varepsilon$$

$$\mathbf{J}_h = \frac{1}{4\pi^3 \hbar} \iint dS_\varepsilon d\varepsilon \frac{\xi(\mathbf{k}) \tau(\mathbf{k}) \mathbf{v}(\mathbf{k}) \otimes \mathbf{v}(\mathbf{k})}{v(\mathbf{k})} \left(-\frac{\partial f_0}{\partial \varepsilon} \right) \cdot q \mathbf{E}(\mathbf{r}, t) + \frac{1}{4\pi^3 \hbar} \iint dS_\varepsilon d\varepsilon \frac{\xi(\mathbf{k}) \tau(\mathbf{k}) \mathbf{v}(\mathbf{k}) \otimes \mathbf{v}(\mathbf{k})}{v(\mathbf{k})} \left(-\frac{\partial f_0}{\partial \varepsilon} \right) \cdot \left[-\frac{\xi(\mathbf{k})}{T} \nabla_{\mathbf{r}} \delta T(\mathbf{r}, t) \right]$$

➔ Wärmestromdichte wird sowohl durch elektrisches Feld und Temperaturgradienten getrieben

➔ Wärmetransport ist immer mit Ladungstransport verbunden und umgekehrt

• **Ladungs- und Wärmetransport in Festkörpern**

$$J_q = \frac{q}{4\pi^3} \int \mathbf{v}(\mathbf{k}) f(\mathbf{k}) d^3k \quad J_h = \frac{1}{4\pi^3} \int \xi(\mathbf{k}) \mathbf{v}(\mathbf{k}) f(\mathbf{k}) d^3k \quad \mathbf{v}(\mathbf{k}) = \frac{1}{\hbar} \nabla_{\mathbf{k}} \varepsilon, \quad \xi(\mathbf{k}) = \varepsilon(\mathbf{k}) - \mu$$

→ außer **Bandstruktur** $\varepsilon_n(\mathbf{k})$ wird **Verteilungsfunktion** $f(\mathbf{k}, \mathbf{r}, t)$ unter Wirkung äußerer Kräfte benötigt

• **Boltzmann-Transportgleichung**

→ beschreibt die Änderung von $f(\mathbf{k}, \mathbf{r}, t)$ durch Wechselspiel von

- (i) *antreibenden Kräften*
- (ii) *Diffusion*
- (iii) *relaxierenden Streuprozessen*

$$\frac{\partial f(\mathbf{k}, \mathbf{r}, t)}{\partial t} + \mathbf{v}(\mathbf{k}) \cdot \nabla_{\mathbf{r}} f - \frac{1}{\hbar} \nabla_{\mathbf{r}} \varepsilon(\mathbf{k}, \mathbf{r}, t) \cdot \nabla_{\mathbf{k}} f = \left(\frac{\partial f(\mathbf{k}, \mathbf{r}, t)}{\partial t} \right)_{\text{Streu}}$$

Diffusion
äußere Kräfte
Streuprozesse

komplizierte Integro-Differentialgleichung → Vereinfachung durch (i) **Linearisierung**
(ii) **Relaxationszeit-Näherung**

• **linearisierte Boltzmann-Transportgleichung**

→ Abweichung $\delta f(\mathbf{k}, \mathbf{r}, t) = f(\mathbf{k}, \mathbf{r}, t) - f_0(\mathbf{k})$ von Gleichgewichtsverteilung $f_0(\mathbf{k})$ soll klein sein

für die Gradienten gilt, da $f_0, \varepsilon_0, \mu_0, T_0$ räumlich und zeitlich konstant sind:

$$\nabla_{\mathbf{r}} f = \nabla_{\mathbf{r}} \delta f \quad \frac{\partial f}{\partial t} = \frac{\partial \delta f}{\partial t} \quad \nabla_{\mathbf{k}} f \approx \frac{\partial f}{\partial \varepsilon} \nabla_{\mathbf{k}} \varepsilon = \frac{\partial f}{\partial \varepsilon} \hbar \mathbf{v} \quad \nabla_{\mathbf{r}} \varepsilon = \nabla_{\mathbf{r}} \delta \varepsilon$$

$$\frac{\partial \delta f(\mathbf{k}, \mathbf{r}, t)}{\partial t} + \mathbf{v}(\mathbf{k}) \cdot \nabla_{\mathbf{r}} \delta f(\mathbf{k}, \mathbf{r}, t) - \frac{\partial f}{\partial \varepsilon} \nabla_{\mathbf{r}} \delta \varepsilon(\mathbf{r}, t) \cdot \mathbf{v}(\mathbf{k}) = \delta I_{\text{Streu}}$$

$$\delta \varepsilon(\mathbf{r}, t) = q\phi(\mathbf{r}, t) - q\mathbf{v} \cdot \mathbf{A}(\mathbf{r}, t)$$

$$\mathbf{F} = -\nabla_{\mathbf{r}} \delta \varepsilon(\mathbf{r}, t) = q\mathbf{E}(\mathbf{r}, t) + q\mathbf{v} \times \mathbf{B}(\mathbf{r}, t)$$

- **Relaxationszeit-Näherung** für komplizierten Streuterm

$$\left(\frac{\partial \delta f(\mathbf{k}, \mathbf{r}, t)}{\partial t} \right)_{\text{Streu}} = - \frac{f(\mathbf{k}, \mathbf{r}, t) - f_0^{\text{loc}}(\mathbf{k}, \mathbf{r}, t)}{\tau(\mathbf{k})} = - \frac{g(\mathbf{k}, \mathbf{r}, t)}{\tau(\mathbf{k})}$$

$$g(\mathbf{k}, \mathbf{r}, t) = f(\mathbf{k}, \mathbf{r}, t) - f_0^{\text{loc}}(\mathbf{k}, \mathbf{r}, t)$$

- Beschreibung aller Streuprozesse durch eine k -abhängige Streuzeit $\tau(\mathbf{k})$
- Verwendung von Abweichung $g(\mathbf{k}, \mathbf{r}, t)$ lokaler Gleichgewichtsverteilungsfunktion $f^{\text{loc}}[\varepsilon(\mathbf{k}, \mathbf{r}, t), \mu(\mathbf{r}, t), T(\mathbf{r}, t)]$

- **linearisierte Boltzmann-Transportgleichung für $g(\mathbf{k}, \mathbf{r}, t)$**

$$g(\mathbf{k}, \mathbf{r}, t) = \tau(\mathbf{k}) \varphi_{\mathbf{k}} \mathbf{v} \cdot \left[q \mathbf{E}(\mathbf{r}, t) - \nabla_{\mathbf{r}} \frac{\delta n(\mathbf{r}, t)}{D(\mu)/V} - \frac{\xi}{T} \nabla_{\mathbf{r}} \delta T(\mathbf{r}, t) \right]$$

verallgemeinerte Kraft: $\mathcal{A} = q\mathbf{E} - \nabla_{\mathbf{r}} \frac{\delta n}{D(\mu)/V} - \frac{\xi}{T} \nabla_{\mathbf{r}} \delta T$

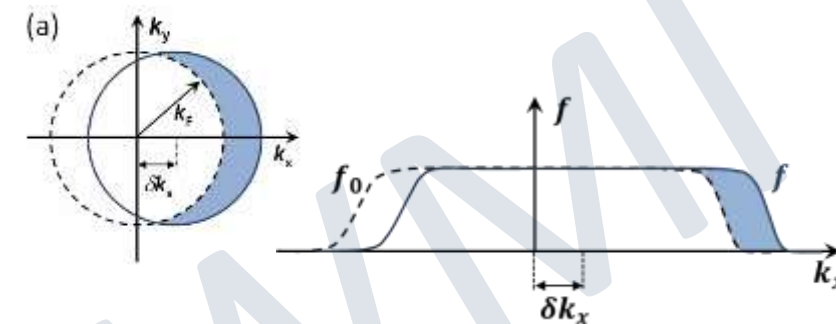
$$\varphi_{\mathbf{k}} = \frac{1}{4k_{\text{B}}T \cosh^2 \frac{\xi}{2k_{\text{B}}T}} = - \frac{\partial f}{\partial \varepsilon}$$

Beispiel: homogener Fall, keine Temperaturgradienten: $\nabla_{\mathbf{r}} \delta n = 0, \nabla_{\mathbf{r}} \delta T = 0$

$$g = - \frac{\partial f}{\partial \varepsilon} \tau \mathbf{v} \cdot q \mathbf{E} = - \nabla_{\mathbf{k}} f \frac{\partial \mathbf{k}}{\partial \varepsilon} \tau q \mathbf{v} \cdot \mathbf{E} = - \frac{\partial f}{\partial k} \frac{qE\tau}{\hbar}$$

$$\text{da } f = f^{\text{loc}} + g = f^{\text{loc}} - \frac{\partial f}{\partial k} \frac{qE\tau}{\hbar} = f^{\text{loc}} - \frac{\partial f}{\partial k} \delta k \Rightarrow f = f^{\text{loc}} \left(k - \frac{qE\tau}{\hbar} \right) = f^{\text{loc}}(k - \delta k)$$

⇒ f entspricht einer um δk verschobenen Gleichgewichtsverteilung



- **allgemeine Transportgleichungen ($B = 0$, Relaxationszeitnäherung)**

→ es wirkt Kraft aufgrund von elektrischem Potentialgradient (\mathbf{E} -Feld) und Temperaturgradient (kein \mathbf{B} -Feld)

$$g(\mathbf{k}, \mathbf{r}, t) = \tau(\mathbf{k}) \varphi_{\mathbf{k}} \mathbf{v} \cdot \left[q \mathbf{E}(\mathbf{r}, t) - \frac{\xi}{T} \nabla_{\mathbf{r}} \delta T(\mathbf{r}, t) \right]$$

$$\mathbf{J}_q = \frac{1}{4\pi^3} \int e \mathbf{v}(\mathbf{k}) g(\mathbf{k}) d^3 k$$

$$\mathbf{J}_h = \frac{1}{4\pi^3} \int \xi(\mathbf{k}) \mathbf{v}(\mathbf{k}) g(\mathbf{k}) d^3 k$$

→ Einsetzen in Ausdrücke für Stromdichten liefert elektrischen und Wärmestrom